

01;07

©1994 г.

**ПРИМЕНЕНИЕ ОПЕРАЦИОННОГО МЕТОДА ЛАПЛАСА
К ОЦЕНКЕ БЫСТРОДЕЙСТВИЯ
ПРОСТРАНСТВЕННО-ВРЕМЕННЫХ
МОДУЛЯТОРОВ СВЕТА**

H. В. Каманина

Макроскопический подход к описанию динамических свойств процессов, происходящих в нематических жидкких кристаллах (НЖК), был развит Эриксеном [1] и Лесли [2]. Согласно [1–3], временные характеристики НЖК считаются определенными полностью, если известны пространственные распределения направления преимущественной ориентации молекул n (директора) и скорости нематической жидкости v в каждый момент времени t . Влияние электрического и магнитного полей на разворот директора в жидкокристалле детально рассмотрено де Женом [4] и Чандрасекаром [5].

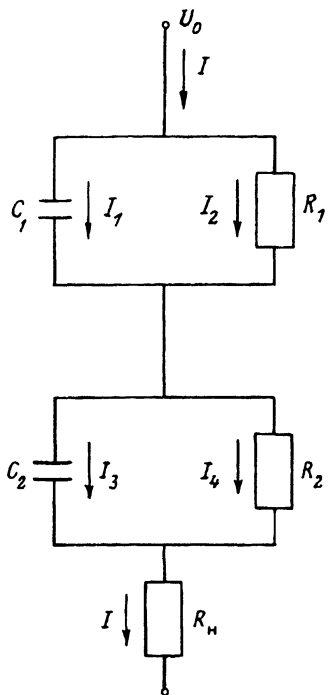
Однако теория существенно усложняется, если рассматривается слоистая структура, состоящая из элементов с различной величиной удельного сопротивления ρ . В этом случае наличие границы раздела слоев с различным ρ ведет к накоплению зарядов и как следствие к изменению временных параметров структуры в целом.

Проблема распределения поля в слоистой структуре рассматривалась рядом авторов [6–9]. Изменение во времени распределения внешнего поля в многослойной структуре определяет динамические характеристики процесса пространственной модуляции лазерного излучения в пространственно-временном модуляторе света (ПВМС) [6, 10].

В данной работе предлагается использовать операционные преобразования Лапласа для решения переходных процессов, происходящих на границе раздела фотопроводник–жидкий кристалл (ФП–ЖК)–структур с разным значением ρ .

На рисунке представлена эквивалентная электрическая схема, соответствующая структуре ФП–ЖК с модуляцией проходящего света [10]. Рассмотрим поведение системы в моменты времени $t < 0$ и $t \geq 0$.

Случай $t < 0$ реализуется в отсутствие воздействия на фотослой записывающего излучения. Перераспределение напряжения на слоях



Эквивалентная электрическая схема ПВМС, работающего на просвет.

происходит следующим образом:

$$U_1 = \frac{U_0 R_1}{R_1 + R_{20} + R_n}; \quad U_2 = \frac{U_0 R_{20}}{R_1 + R_{20} + R_n}, \quad (1)$$

где U_0 — амплитуда импульса напряжения питания ПВМС; U_1 , U_2 — напряжения на ЖК и ФК соответственно; R_1 — сопротивление ЖК слоя; R_{20} — темновое сопротивление фотослоя; R_n — сопротивление нагрузки.

В момент $t \geq 0$ воздействие освещения ведет к фотогенерации носителей в полупроводнике, что вызывает изменение его ρ . Это приводит к изменению сопротивления фотослоя на величину $\delta R = R_{20} - R_2$, т.е.

$$R_2 = \begin{cases} R_{20}, & t < 0, \\ R_2 < R_{20}, & t \geq 0. \end{cases} \quad (2)$$

Тогда система уравнений для токов и напряжений будет иметь вид

$$I = I_1 + I_2 = I_3 + I_4;$$

$$U_0 = I_2 R_1 + I_4 R_2 + I R_n;$$

$$I_2 R_1 = U_1 + \frac{1}{C_1} \int_0^t I_1 dt;$$

$$I_4 R_2 = U_2 + \frac{1}{C_2} \int_0^t I_3 dt, \quad (3)$$

где $I_1 - I_4$ — токи, введенные на рисунке; C_1 и C_2 — емкости слоев ЖК и ФП соответственно.

После преобразования по Лапласу [11] система уравнений (3) примет вид

$$\begin{aligned} \bar{I} &= \bar{I}_1 + \bar{I}_2 = \bar{I}_3 + \bar{I}_4; \\ \frac{U_0}{p} &= \bar{I}_2 R_1 + \bar{I}_4 R_2 + \bar{I} R_h; \\ \bar{I}_2 R_1 &= \frac{U_1}{p} + \frac{1}{p C_1} \bar{I}_1; \\ \bar{I}_4 R_2 &= \frac{U_2}{p} + \frac{1}{p C_2} \bar{I}_3. \end{aligned} \quad (4)$$

Выражая величину тока \bar{I} через параметры системы (4) и учитывая выражения (1), после упрощений получим

$$\bar{I} = \frac{U_0}{p} \frac{(ap^2 + b_0 p + c)}{(ap^2 + bp + c)}, \quad (5)$$

где

$$\begin{aligned} a &= R_h R_1 R_2 C_1 C_2; \\ b_0 &= R_1 (R_{20} C_1 + R_2 C_2) + R_h (R_1 C_1 + R_2 C_2); \\ b &= R_1 R_2 (C_1 + C_2) + R_h (R_1 C_1 + R_2 C_2); \\ c &= R_1 + R_2 + R_h. \end{aligned} \quad (6)$$

Применяя теорему разложения Хевисайда в виде

$$I(t) = \frac{V(0)}{W(0)} + \sum_{i=1}^n \frac{V(p_i)}{p_i W'(p_i)} e^{p_i t}, \quad (7)$$

где

$$W'(p_i) = \left. \frac{dW}{dp} \right|_{p=p_i},$$

а p_i — корни уравнения $W(p) = 0$, и принимая во внимание, что $R_h \ll R_1$ и R_2 , получим

$$I(t) = \frac{U_0}{c} + \frac{1}{m} \frac{U_0}{c_0} \delta R \left[R_1 C_1 e^{-\frac{m}{a} t} - \frac{m}{R_1 + R_2} e^{\frac{R_1 + R_2}{m} t} \right], \quad (8)$$

где $c_0 = R_1 + R_{20} + R_h$, $m = R_1 R_2 (C_1 + C_2) + R_h (R_1 C_1 + R_2 C_2)$.

Величины, обратные в показателях экспонент перед сомножителем t , определяют времена включения $t_{\text{вкл}}$ и выключения $t_{\text{выкл}}$ фотоотклика слоистой структуры.

Экспериментальные данные							Расчетные данные	
Тип ФП	Режим питания	Режим засветки		Время включения, мс	Время выключения, мс	Литера-тура	Время включе-ния, мс	Время выклю-чения, мс
		длина волн	длина записи, мкм					
XСП	Постоянный	Непрерывный	140	600	[¹²]	100	700	
ZnSe (поликристалл)	То же	0.45–0.5 Непрерывный	0.632 20	—	[¹³]	3	100	
ZnSe (поликристалл)	Импульсный	0.48	0.63	Импульсный 7–10	100	*		
ZnSe (монокристалл)	То же	0.53	0.63	Импульсный 3–5	50	**		
Полиимид (полимер)	Постоянный	Белый свет	0.63	Импульсный 20	600	[¹⁴]	5	1000
Полиимид (полимер)	Импульсный	0.53	0.63	Импульсный 5	300	[¹⁵]		

* Данные получены автором. Запись голограммической решетки проводилась излучением второй гармоники мономимпульсного одномодового лазера на КГВ с длительностью импульса 10^{-8} с с энергией 2 мДж при диаметре пятна на фотослое 5 мм. Пространственная частота 70 мм^{-1} .

** Данные получены автором. Динамические характеристики ПВМС исследовались по соотношению первого и нулевого порядков интенсивности света в дифракционных максимумах в частотной плоскости оптического фурье-спектроанализатора. Толщина монокристалла ZnSe 80 мкм.

Для сравнения теоретических и экспериментальных данных были выполнены соответствующие оценки быстродействия ПВСМ с разными фотослоями. Результаты представлены в таблице.

При расчете с использованием операционного метода было сделано допущение, что емкости слоев примерно одинаковы и составляют (по значению $C_{ЖК}$) 10^{-7} Ф при апертуре ПВСМ ~ 10 см² и толщинах слоев ЖК 3...5 мкм, ФП 1...2 мкм. Удельное сопротивление $\rho_{ЖК} = 10^{11}$ Ом·см в зависимости от типа полупроводника. Сопротивление нагрузки $R_h = 10^4$ Ом.

Из таблицы следует, что применение импульсного напряжения питания позволяет получить оптимальные времена нарастания и спала фотоотклика структуры ФП-ЖК, близкие к расчетным значениям. Это связано с тем, что при постоянном напряжении питания возможно диссоциация молекул ЖК, что приводит к образованию дополнительных уровней прилипания и связанному с этим ухудшению быстродействия.

Некоторое несоответствие $t_{вкл}$ [14] в случае полимерного фотослоя, сенсибилизированного полимидом, с расчетным значением объясняется тем, что из-за малых значений подвижности в полимидах замедляется процесс формирования и растекания заряда на границе раздела ФП-ЖК, что ведет к необходимости более точного определения эффективного значения диэлектрической проницаемости, изменяющейся под действием электрического поля.

Использование понятия "кажущегося" значения диэлектрической проницаемости [16], связанного с тем, что в области накопления зарядов диэлектрическая проницаемость может возрастать до значения 10^3 , позволяет получить удовлетворительное соответствие значений временных параметров фотоотклика, полученных методом Лапласа, с экспериментом.

Таким образом, предложенная методика определения временных параметров слоистой структуры дает хорошее соответствие с экспериментальными результатами. Она удобна в обращении и позволяет быстро оценить возможное быстродействие новых создаваемых приборов.

Методика применима и для численных расчетов на ЭВМ в автоматизированных системах обработки оптических сигналов в реальном масштабе времени.

Автор выражает благодарность Н.А. Василенко за предоставленные ПВСМ с полимерным фотослоем и А.П. Онохову за ПВСМ с фотослоем на основе селенида цинка.

Список литературы

- [1] Erickson J.L. // Arch. Rat. Mech. Anal. 1962. Vol. 9. P. 371–378.
- [2] Leslie F.M. // Arch. Rat. Mech. Anal. 1968. Vol. 28. P. 265–283.
- [3] Чигринов В.Г. // Кристаллография. 1982. Т. 27. № 2. С. 404–430.
- [4] Де Жен П. Физика жидких кристаллов. М.: Мир, 1977. 400 с.
- [5] Чандрасекар С. Жидкие кристаллы. М.: Мир, 1980. 344 с.
- [6] Бережной А.А. // Изв. АН СССР. Сер. физ. 1982. Т. 46. № 10. С. 1915–1924.
- [7] Сихарулидзе Д.Г., Чилая Г.С., Бродзели М.И. // Квантовая электрон. 1979. Т. 6. № 6. С. 1271–1277.
- [8] Закревская В.А., Сударь Н.Т. // ЖТФ. 1990. Т. 60. Вып. 2. С. 66–71.
- [9] Греков Е.В., Сухоруков О.Г. // Микроэлектроника. 1986. Т. 15. Вып. 2. С. 135–141.
- [10] Васильев А.А., Касасент Д., Компанец И.Н., Парфенов А.В. Пространственные модуляторы света. М.: Радио и связь, 1987. 320 с.

- [11] Конторович М.И. Операционное исчисление и процессы в электрических цепях. М.: Сов. радио, 1975. 320 с.
- [12] Владимиров Ф.Л., Моричев И.Е., Плетнёва Н.И. // Опт.-мех. пром-сть. 1985. № 5. С. 1-3.
- [13] Годя С.И., Данилюк С.А., Ермаков А.С. и др. // ЖТФ. 1991. Т. 61. Вып. 3. С. 164-168.
- [14] Слюсарь А.И., Мыльников В.С. // ЖТФ. 1991. Т. 61. Вып. 11. С. 201-203.
- [15] Василенко Н.А., Каманина Н.В., Онохов А.П. // Письма в ЖТФ. 1992. Т. 18. Вып. 13. С. 27-30.
- [16] Грищенко Н.И., Мошель Н.В. // УФЖ. 1980. Т. 25. № 11. С. 1830-1835.

Всероссийский научный центр
(ГОИ им. С.И. Вавилова)
Санкт-Петербург

Поступило в Редакцию
13 октября 1992 г.
В окончательной редакции
28 мая 1993 г.
